

# ΒΡΑΧΕΙΑ ΑΝΑΣΚΟΠΗΣΗ

## BRIEF REVIEW

### 99mTc-HYNIC-rh-ανεξίνη V Η απεικόνιση του αποπτωτικού θανάτου

#### Λέξεις ευρετηρίου

Απόπτωση  
Φωσφατιδυλοσερίνη  
99mTc-HYNIC-ανεξίνη V

ΑΡΧΕΙΑ ΕΛΛΗΝΙΚΗΣ ΙΑΤΡΙΚΗΣ 2000, 17(4):371-376  
ARCHIVES OF HELLENIC MEDICINE 2000, 17(4):371-376

A. Ζαγκλής,  
Ε. Χουσιανάκου

Εργαστήριο Πυρηνικής Ιατρικής,  
ΠΓΝΗ «Ο Ευαγγελισμός», Αθήνα

99mTc-HYNIC-rh-annexin V.  
The imaging of apoptotic death

*Abstract at the end of the article*

Το 1972, ο Kerr εισήγαγε για πρώτη φορά τον όρο «απόπτωση», περιγράφοντας τις χαρακτηριστικές μορφολογικές αλλοιώσεις των κυττάρων, που παρατίροσε σε δείγματα ιστών από επινεφρίδια.<sup>1</sup> Τα αποπτωτικά κύτταρα εμφάνιζαν συρρίκνωση, συμπύκνωση της χρωματίνης του πυρήνα και κατακερματισμό της. Αντίθετα, τα μιτοχόνδρια δεν παρουσίαζαν, οπτικά τουλάχιστον, αλλοιώσεις και η κυτταρική μεμβράνη τους παρέμενε αινέπαφη, αν και με φυσαλίδες εντός αυτής. Ακόμα, η πλεκτροφόρηση του DNA αποπτωτικών κυττάρων παρουσίαζε χαρακτηριστική εικόνα σκάλας (ladder bands).<sup>2</sup>

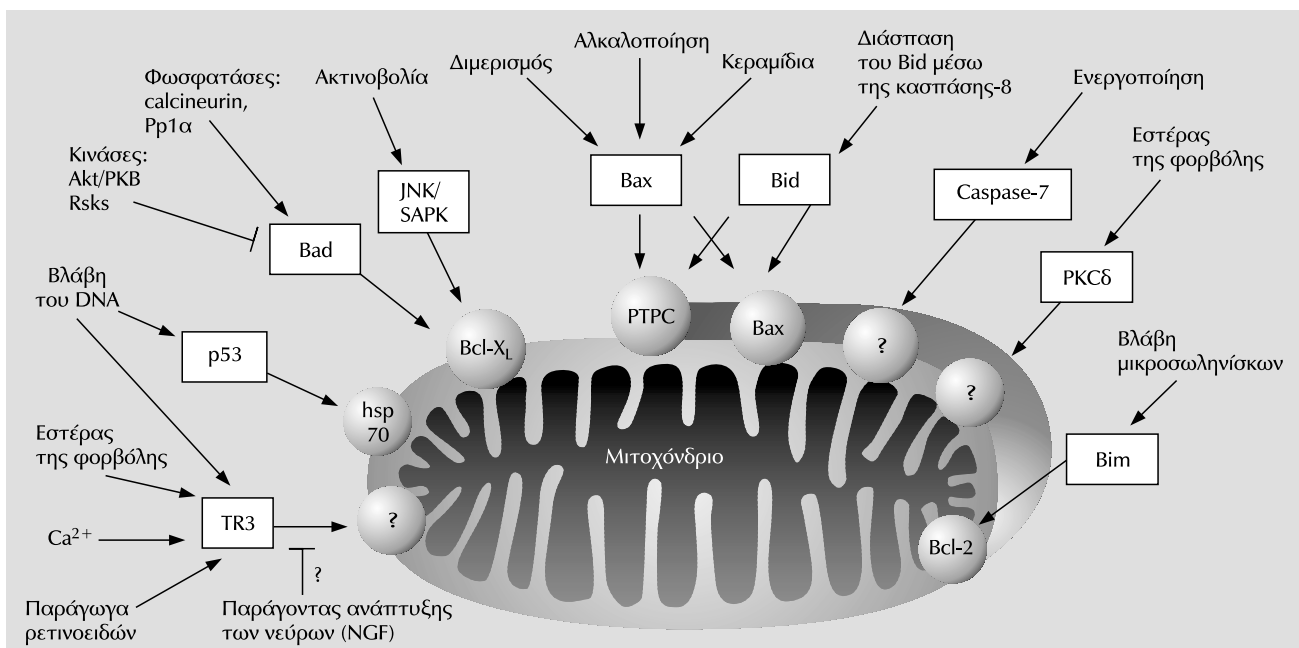
Ο κυτταρικός θάνατος μπορεί να επέλθει με δύο διαφορετικούς τρόπους.<sup>3-5</sup> Είτε με ανοργάνωτο, παθητικό και απότομο τρόπο (νέκρωση), είτε με ενορχηστρωμένο (απόπτωση), που ελέγχεται με εξίσου περίπλοκους μηχανισμούς, όπως αυτοί με τους οποίους ελέγχεται και ο πολλαπλασιασμός των κυττάρων. Η νέκρωση επιφέρει μια αντιστρεπτή καταστροφή της κυτταρικής μεμβράνης, διόγκωση του κυττάρου και ανεξέλεγκτη έκλυση ενζύμων (λιπασών, πρωτεασών κ.λπ.), τα οποία προκαλούν καταστροφή και των παρακειμένων κυττάρων καθώς και τη δημιουργία φλεγμονώδους αντίδρασης. Η νέκρωση επέρχεται συνήθως από ακραίες αλλαγές του εξωτερικού περιβάλλοντος και αφορά σε ομάδες κυττάρων. Αντίθετα, η απόπτωση, μια φυσιολογική και ενεργητική διαδικασία, με τον προγραμματισμένο τρόπο που επιτελείται και με διατήρηση της ακεραιότητας της κυτταρικής μεμβράνης, δεν επιφέρει την καταστροφή των γειτονικών κυττάρων και συνεπώς τη δημιουργία φλεγμονώδους αντίδρασης. Η απόπτωση είναι φαινόμενο που αφορά μεμονωμένα κύτταρα.

Η έναρξη της απόπτωσης είναι αποτέλεσμα πολλών διαφορετικών εξωγενών ή ενδογενών σημάτων (πίν. 1), αλλά με κοινό καταληπτικό μηχανισμό θανάτου.<sup>3-12</sup> Τα σήματα έναρξης της αποπτωτικής διαδικασίας μπορεί να προέρχονται είτε από την επιφάνεια του κυττάρου,<sup>6</sup> όπως η αλληλεπίδραση του παράγοντα νέκρωσης των όγκων (Tumor Necrosis Factor, TNF) με τον υποδοχέα του ή του Fas (Apo-1 ή CD95) με τον Fas-L,<sup>7</sup> είτε από το κυτταρόπλασμα, με την επίδραση ακτινοβολίας, χημικών παραγόντων, υποξίας ή άλλων ερεθισμάτων. Πρόσφατες διαπιστώσεις απέδειξαν τον εν γένει ενορχηστρωτικό ρόλο των μιτοχονδρίων στη διαδικασία της απόπτωσης (εικ. 1).<sup>8,9</sup>

Η διατήρηση της ανατομικής ακεραιότητας της μεμβράνης των κυττάρων σε διαδικασία απόπτωσης είναι χαρακτηριστική, πλην όμως επέρχεται αρχικά αναστροφή στην κατανομή των φωσφολιπιδίων που τη συγκροτούν, καθώς και μια σειρά άλλων μεταβολών, σε τρόπο ώστε το κύτταρο να αναγνωριστεί από τα φαγοκύτταρα και να εναγκαλιστεί από αυτά.<sup>13</sup> Η φωσφατιδυλοσερίνη συγκρατείται υπό φυσιολογικές συνθήκες στην κυτταροπλασματική πλευρά της κυτταρικής μεμβράνης με τη βοήθεια δύο ATP-εξαρτώμενων ενζύμων, της φλοιοπάσης και της τρανσολοκάσης.<sup>14,15</sup> Κατά τη διάρκεια της ενεργοποίησης της απόπτωσης επέρχεται αναστολή των δύο αυτών ενζύμων, με ταυτόχρονη ενεργοποίηση ενός άλλου ενζύμου, της σκραμπιλάσης,<sup>14</sup> γεγονός που έχει ως αποτέλεσμα τη μετανάστευση της φωσφατιδυλοσερίνης στην εξωτερική πλευρά της κυτταρικής μεμβράνης. Η εξωτερίκευση αυτή της φωσφατιδυλοσερίνης είναι ένα γενικό και πρώιμο χαρακτηριστικό της αποπτωτικής

**Πίνακας 1.** Μερικοί από τους παράγοντες που επάγουν ή καταστέλλουν την απόπτωση.

Αναστολείς της απόπτωσης		
Φυσιολογικοί αναστολείς	Γονίδια ιών	Φαρμακολογικοί παράγοντες
Παράγοντες ανάπτυξης	Αδενοϊός ( <i>E1B</i> )	Αναστολείς καλπαΐνης
Εξωκυτάρια ουσία	Μπακουλοίος ( <i>p53, IAP</i> )	Αναστολείς κυστεΐνοπρωτεασών
CD40	Ιός Epstein-Barr ( <i>BHRF1, LMP-1</i> )	Προαγωγοί όγκων
Ουδέτερα αμινοξέα	Ιός έρπητα ( $\gamma 1\ 34,5$ )	Phorbol-12-myristate-13-acetate (PMA)
Ψευδάργυρος		Φαινοβαρβιτάλη
Οιστρογόνα		α-εξαλδωρο-κυκλοεξάνιο
Ανδρογόνα		
Επαγωγείς της απόπτωσης		
Φυσιολογικής επαγωγείς	Επαγωγείς σχετιζόμενοι με τη θλάβη	Θεραπευτική παράγοντες
Οικογένεια TNF	Θερμικό shock	Τοξίνες
TNF	Ιογενής λοίμωξη	Αιθανόλη
Fas-L (Fas Ligand)	Τοξίνες βακτηριδίων	β-πεπτίδιο
Transforming Growth Factor $\beta$	Ογκογονιδία ( <i>myc, rel, E1A</i> )	Σισπλατίνη
Νευροδιαβιβαστές	<i>p53</i> (ογκοκατασταλτής)	Μεθοτρεξάτη
Γλουταμικό	Κυτταρολυτικά Τ-κύτταρα	Βλεομυκίνη
Ντοπαμίνη	Οξειδωτικά	Δοξορουθικίνη
N-μεθυλ-D-ασπαρτικό οξύ	Ελεύθερες ρίζες	Βινκριστίνη
Απουσία παραγόντων ανάπτυξης	Έλλειψη τροφικών παραγόντων,	Ακτινοθολία γ
Ασθέτιο	αντιμεταβολίτες	Υπεριώδεις ακτίνες
Γλυκοκορτικοειδή		



**Εικόνα 1.** Πρωτεΐνες παραγόμενες κατά τη διαδικασία της απόπτωσης κινούνται προς το μιτοχόνδριο, τις μεμβράνες του οποίου και επηρέαζουν. Οι τελικοί επαγωγείς, που φαίνονται στα ορθογώνια περιγράμματα, ενεργοποιούνται από διάφορες προαποπτωτικές οδούς, κινούνται από το κυτταρόπλασμα προς το μιτοχονδριακή μεμβράνη και αλληλεπιδρούν με συγκεκριμένους υποδοχείς (κύκλοι). Τελικά, επισυμβαίνει ενεργοποίηση του καταρράκτη των κασπασών και έκλιση προκασπασών και ενεργοποιητών των κασπασών (κυτόχρωμα C) από το μιτοχόνδριο, με αποτέλεσμα να λάβουν χώρα τα γεγονότα που οδηγούν στον αποπτωτικό θάνατο του κυττάρου, με τελική κατάληξη τη φαγοκυτάρωσή του.<sup>9</sup>

διαδικασίας, πολύ πριν εμφανιστούν οι χαρακτηριστικές αλλοιώσεις στον πυρήνα του κυττάρου, και η διαπίστωσή του στην εξωτερική κυτταρική επιφάνεια αποτέλεσε έναν εύλογο στόχο για την ανάπτυξη τεχνικών καθορισμού των κυττάρων που έχουν ήδη εισέλθει στην αποπτωτική διαδικασία (εικ. 2).

## Ανεξίνη V και απόπτωση

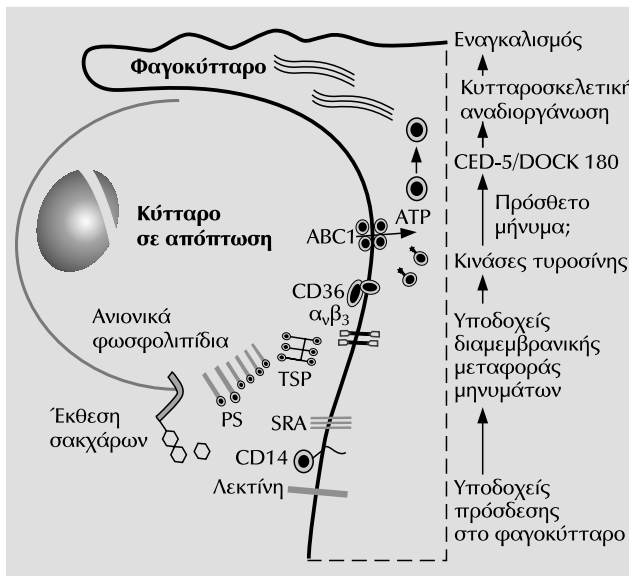
Μια πρωτεΐνη με μεγάλη τάση σύνδεσης με τη φωσφατιδυλοσερίνη, είναι η ανεξίνη V.<sup>16-18</sup> Η επισήμανση αυτής της πρωτεΐνης με  $^{99m}$ Tc ή  $^{123}$ I αποτέλεσε και τη βάση της ανάπτυξης του ραδιοφαρμάκου με την εμπορική ονομασία Aromate<sup>®</sup> (Theseus Imaging Co), το οποίο ευρίσκεται στο στάδιο των κλινικών ερευνών, προκειμένου να χρησιμοποιηθεί για την *in vivo* ραδιοϊσοτοπική ανίχνευση και απεικόνιση κυττάρων σε απόπτωση.<sup>19</sup> Άλλες τεχνικές για την απεικόνιση της αποπτωτικής διαδικασίας στηρίζονται στο φαινόμενο του πυρηνικού μαγνητικού συντονισμού (Magnetic Resonance, MR) και στη δυνατότητα που έχει να ανιχνεύει τις λεπτές διαφορές που παρατηρούνται στα υπό απόπτωση κύτταρα. Σε αυτές τις τεχνικές συμπεριλαμβάνονται η φασματοσκοπική μελέτη των λιπιδίων των κυττάρων (lipid proton magnetic resonance) και ο μαγνητικός συντονισμός που ανιχνεύει

και απεικονίζει τις διαφορές στην ταχύτητα διάχυσης (MR diffusion-weighted) διαφόρων κυτταρικών συστατικών στα αποπτωτικά κύτταρα.

Η ανεξίνη V ανήκει στις πρωτεΐνες με μεγάλη τάση σύνδεσης με ασβέστιο και φωσφολιπίδια. Είναι γνωστή με διάφορα ονόματα, όπως πρωτεΐνη 4 του πλακούντα (PP4), αντιπιπλική πλακούντιακή πρωτεΐνη I (PAP I), ασβέστιο-φωσφολιπίδιο-συνδετίνη I (CPB-I), ασβέστιο-ξαρτώμενη δεσμεύουσα τα φωσφολιπίδια πρωτεΐνη 33 (CaBP 33), αγγειακή αντιπιπλική πρωτεΐνη άλφα (VACa), ανκορίνη CII, λιποκορτίνη-V και αναστολέας της θρομβοπλαστίνης. Η ανεξίνη V απαντάται κυρίως στην κυτταροπλασματική πλευρά των κυτταρικών μεμβρανών, προφανώς συνδεδεμένη με φωσφατιδυλοσερίνη σε φυσιολογικές συγκεντρώσεις ασθεσίου. Η ανεξίνη V έχει την τάση να σχηματίζει τριμερή και η στοιχειομετρία σύνδεσης της με τη φωσφατιδυλοσερίνη είναι 4–8 μόρια ανεξίνης V ανά μόριο φωσφατιδυλοσερίνης. Η συγγένεια σύνδεσης της με τη φωσφατιδυλοσερίνη είναι πολύ μεγάλη (σταθερά διαστάσεως  $K_d = 7 \text{ nmol}$ ) και η κινητική της σύνδεσης πολύ ταχεία. Η σύνδεση είναι ασβέστιοξαρτώμενη, αλλά παρουσία EDTA (που δεσμεύει το ασβέστιο) η σύνδεση είναι αντιστρεπτή.<sup>15</sup>

Το γονίδιο της ανεξίνης V ευρίσκεται στο ανθρώπινο χρωμόσωμα 4q26-q28 και εκτείνεται σε μια περιοχή του DNA μήκους 28 kb, που περιέχει 13 εξόντια και 12 ιντρόνια. Το τελικό μόριο της ανεξίνης V, που προέρχεται από τη μετάφραση αυτού του γονιδίου, περιέχει 320 αμινοξέα και έχει μοριακό βάρος 35–36 kDa. Η ανεξίνη V είναι μια πρωτεΐνη επίπεδης και κυκλοτερούς διαμόρφωσης (τριτογαής δομή), στην οποία παρατηρούνται 4 επαναλαμβανόμενες περιοχές, που καθεμία της αποτελείται από 5 τμήματα με δομή α-έλικας (δευτερογαής δομή). Η ανεξίνη V έχει ανιχνευθεί σε διάφορους ιστούς και κύτταρα, όπως μυοκάρδιο, ενδοθήλιο αγγείων, χονδροκύτταρα, οστεοβλάστες, γλοιοκύτταρα, αστροκύτταρα, ολιγοδενδροκύτταρα, κύτταρα Schwann, σκελετικά μυϊκά κύτταρα, οπικό νεύρο, ηπατοκύτταρα και βρόγχους.

Αρχικά, η ανεξίνη V, συνδεδεμένη με τη φθορίζουσα χρωστική φθοριστική ίμη βιοτίνη, χρησιμοποιήθηκε στην κυτταρολογία και την ιστοχημεία για τη μελέτη του φαινομένου της απόπτωσης. Το 1994, ερευνητές στην εταιρεία NeoRx δημοσίευσαν την πρώτη επιτυχή προσπάθεια *in vivo* απεικόνισης θρόμβων (κολπικών και εν τω βάθει) σε κοίρους, χρησιμοποιώντας επισημασμένη με  $^{99m}$ Tc ανεξίνη V.<sup>20,21</sup> Έκτοτε, η  $^{99m}$ Tc-ανεξίνη V έχει χρησιμοποιηθεί επιτυχώς για την απεικόνιση της απόρριψης καρδιακών, ηπατικών και πνευμονικών μοσχευμάτων σε πειραματόζωα.<sup>22-24</sup> Από τις μελέτες<sup>19,25</sup> βιοκα-



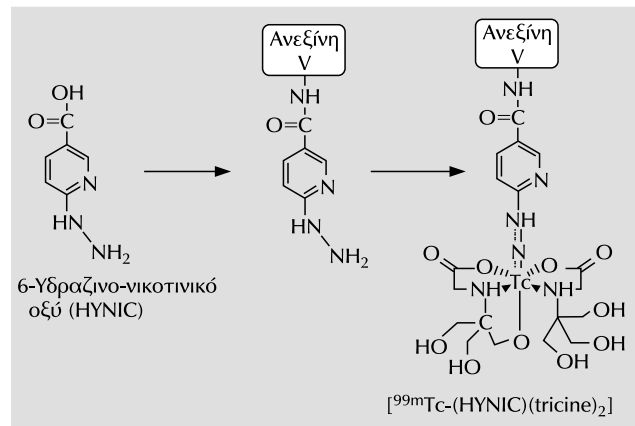
**Εικόνα 2.** Απεικόνιση των βημάτων που προηγούνται της φαγοκύτταρωσης ενός κυττάρου σε διαδικασία απόπτωσης. Η ενεργοποίηση του καταρράκτη των κασπασών, που επέρχεται, όπως φάνεται στην εικόνα 1, μέσω διαφόρων προαποπτωτικών οδών, προκαλεί σειρά αλλαγών στην κυτταρική μεμβράνη, με προεξάρχοντα την εξωτερικήν της φωσφατιδυλοσερίνης (PS). Τα φαγοκύτταρα χρησιμοποιούν πολλαπλούς μηχανισμούς για την αναγνώριση των υπό απόπτωση κυττάρων, όπως αλληλεπίδραση με τον υποδοχέα  $\alpha_1\beta_3$  της βιρονεκτίνης (ιντεγρίνης) και αναγνώριση της θρομβοσπονδίνης (TSP).<sup>13</sup>

τανομής του ραδιοφαρμάκου σε πειραματόζωα, διαπιστώθηκε ότι το ραδιοφάρμακο μέσα σε λίγα λεπτά ουσιαστικά απομακρύνεται από την κυκλοφορία ( $t_{1/2} = 3\text{--}7 \text{ min}$ ) και το μεγαλύτερο ποσό της χορηγούμενης ραδιενέργειας εντοπίζεται στους νεφρούς (17% μετά από 3 ώρες) και στο σπλήνα (5,3% μετά από 3 ώρες). Η ραδιενέργεια στην ουροδόχο κύστη βαίνει επίσης αυξανόμενη (3% μετά από 3 ώρες). Είναι ενδιαφέρον το γεγονός, όπως έδειξαν αυτοραδιογραφικές μελέτες, ότι η  $^{99m}\text{Tc}$ -ανεξίν V εντοπίζεται αποκλειστικά στο νεφρικό φλοιό, χωρίς να απεικονίζονται η μυελώδης μοίρα ή οι νεφρικές θηλές. Μια εξήγηση γι' αυτό το φαινόμενο είναι η μη ειδική καθήλωση του ραδιοφαρμάκου στα εγγύς εσπειραμένα σωληνάρια, όπως έχει παρατηρηθεί και με άλλες χαμπλού μοριακού βάρους πρωτεΐνες. Τέλος, ο εγκέφαλος παρουσιάζει ασήμαντη καθήλωση του ραδιοφαρμάκου (0,009% μετά από 3 ώρες).

Η χρησιμοποιούμενη ανεξίν V σε κλινικές μελέτες είναι ανασυνδυασμένη ανθρώπινη πρωτεΐνη (rh-anneXin V, rh: recombinant human), η οποία παράγεται σε *E. coli*. Η συμπλοκοποίηση του  $^{99m}\text{Tc}$  γίνεται χρησιμοποιώντας την υδραζινομάδα του 6-υδραζινονικοτινικού οξέος (HYNIC), που έχει ίδιη συνδεθεί με το μόριο της ανεξίνης V, με το σκηματισμό διασενιδικού δεσμού.<sup>26-28</sup> Η καρβοξυλομάδα του HYNIC συνδέεται με την ε-αμινομάδα μιας από τις λυσίνες της ανεξίνης V με πεπιδικό (αμιδικό) δεσμό, μετά από ενεργοποίηση της (της καρβοξυλομάδας) με πλεκτριμίδιο. Η σύνδεση του HYNIC στην ανεξίνη V προκαλεί αλλαγή στη σταθερά σύνδεσης της με τη φωσφατιδυλοσερίνη, αν και η αλλαγή αυτή δεν είναι σημαντική ( $k_d = 16,8 \text{ nM}$ ). Ως συνυποκαταστάτες, στη δημιουργία του οκταεδρικού συμπλόκου του  $^{99m}\text{Tc}$ , με οθένος του  $^{99m}\text{Tc}$  στο σύμπλοκο (IV) ή (V), χρησιμοποιούνται γλυκοεπτονικό οξύ, τρισίνη ή ο συνδυασμός τρισίνης/μονοφωσφίνης. Η αναγωγή του υπερτεχνητικού νατρίου, που λαμβάνεται από την έκλουση της γεννήτριας  $^{99}\text{Mo}/^{99m}\text{Tc}$ , γίνεται με δισθενή κασσίτερο και η δομή του παραγομένου συμπλόκου με τρισίνη φαίνεται στην εικόνα 3. Η ραδιεπισήμανση είναι ταχεία και επιτελείται σε ήπιες συνθήκες, η δε ραδιοχημική καθαρότητα του λαμβανομένου ραδιοφαρμάκου ξεπερνά το 92%.

### Εφαρμογή της $^{99m}\text{Tc}$ -rh-ανεξίνης V στην απεικόνιση της απόπτωσης

Το δίδυμο πολλαπλασιασμός-απόπτωση των κυττάρων είναι απαραίτητο στην ομοιοστασία των οργανισμών και έχει διατηρηθεί εξελικτικά. Στην 20ετία που διέρρευσε, διαπιστώθηκε ότι η διατάραξη αυτής της ισορροπίας χαρακτηρίζει διάφορες παθολογικές καταστάσεις, όπως τα αυτοάνοσα νοσήματα, την απόρριψη των μοσχευμάτων και τις μετασχαιμικές βλάβες που συνοδεύουν τα



**Εικόνα 3.** Η προτεινόμενη δομή του συμπλόκου του  $^{99m}\text{Tc}$  με το HYNIC (6-υδραζινο-νικοτινικό οξύ) παράγωγο της ανεξίνης V. Το οθένος του  $^{99m}\text{Tc}$  δεν είναι γνωστό, αλλά πιθανολογείται ότι είναι (V), η δε σύνδεση του  $^{99m}\text{Tc}$  με το HYNIC γίνεται με διασενιδικό δεσμό.

εγκεφαλικά επεισόδια ή το έμφραγμα του μυοκαρδίου.<sup>28-30</sup> Είναι επίσης παραδεκτό ότι η αντινεοπλασματική αγωγή (ανοσοθεραπεία, φάρμακα ή ακτινοθεραπεία) ασκεί τη δράση της προκαλώντας τον αποπτωτικό θάνατο των νεοπλασματικών κυττάρων (πίν. 2). Η επιτυχής χρησιμοποίηση της  $^{99m}\text{Tc}$ -rh-ανεξίνης V για την απεικόνιση της αποπτωτικής διαδικασίας ανοίγει πλέον έναν καινούργιο τομέα εφαρμογών αυτού του ραδιοφαρμάκου στην Πυρηνική Ιατρική.

Ένας σημαντικός τομέας εφαρμογής είναι η παρακολούθηση μοσχευμάτων για τυχόν απόρριψη, τόσο οξεία, όσο και χρονία.<sup>22-24</sup> Τα μοσχεύματα που μπορεί να μελετηθούν είναι: καρδιά, πνεύμονες, μυελός οστών, ήπαρ. Μέχρι τώρα, τουλάχιστον, δεν έχει γίνει προσπάθεια μελέτης νεφρικών μοσχευμάτων, προφανώς λόγω της απέκκρισης του ραδιοφαρμάκου από τους νεφρούς και της καθήλωσής του σε αυτούς. Στην οξεία απόρριψη επισυμβαίνει προσβολή του μοσχεύματος από κυτταρολυτικά T-λεμφοκύτταρα, με ενεργοποίησή τους μέσω της οδού Fas-Fas-L. Στη χρονία απόρριψη, η ενεργοποίηση της ίδιας οδού (Fas-Fas-L) προσβάλλει το ενδοθήλιο των αγγείων που αιματώνουν τα εν λόγω όργανα. Ένας άλλος τομέας με ενδιαφέρον είναι η πρώιμη αξιολόγηση της έκτασης της καταστροφής του μυοκαρδίου μετά από έμφραγμα ή φλεγμονώδη εξεργασία (μυοκαρδίτιδα), με ανάλογη τροποποίηση της φαρμακευτικής αγωγής.<sup>4,17</sup> Είναι γνωστό ότι τα μέχρι σήμερα χρησιμοποιούμενα ραδιοφάρμακα για την εντοπισμό νεκρωθεισών περιοχών στο μυοκαρδίο από οποιαδήποτε αιγίδα, όπως τα  $^{99m}\text{Tc-PYP}$ ,  $^{99m}\text{Tc-glucaric acid}$  ή το Myoscint® επισημασμένο με  $^{111}\text{In}$ , απαιτούν την πάροδο ικανού χρονικού διαστήματος (αρκετές ώρες ή και ημέρες) από το γεγονός για την απεικόνισή του.

**Πίνακας 2.** Νοσήματα σχετιζόμενα με επαγωγή ή αναστολή του αποπτωτικού θανάτου.

Νοσήματα με αναστολή της απόπτωσης	Νοσήματα με ενεργοποίηση της απόπτωσης
Νεοπλάσματα	AIDS
Θυλακιώδη λεμφώματα	Νευροεκφυλιστικά νοσήματα
Όγκοι με μετάλλαξη στο γονίδιο p53	Νόσος Alzheimer
Ορμονοεξαρτώμενοι όγκοι	Νόσος Parkinson
Μαστού	Αμυοτροφική πλαγία σκλήρυνση
Προστάτη	Retinitis pigmentosa
Ωθηκών	Παρεγκεφαλίδική εκφύλιση
Αυτοάνοσα νοσήματα	Μυελοδυσπλαστικά σύνδρομα
Συστηματικός ερυθροματώδης λύκος	Απλαστική αναιμία
Σπειραματοενεφρίτιδα ανοσολογικής αρχής	Ισχαιμική βλάβη
Ιογενείς λοιμώξεις (από έρπιτα, αδενοϊό κ.λπ.)	Έμφραγμα μυοκαρδίου Έμφρακτο εγκεφάλου Βλάβη από επαναιμάτωση
	Τοξική βλάβη του πίπατος (αλκοόλη)
	Απόρριψη μοσχευμάτων

Τέλος, ο σημαντικότερη ίσως εφαρμογή της μεθόδου αναμένεται στην πολύ πρώιμη αξιολόγηση της ανταπόκρισης ασθενών που υποβάλλονται σε αντινεοπλασματική αγωγή. Για παράδειγμα, μόνο το 25% των ασθενών με καρκίνο του μαστού που υποβάλλονται σε αγωγή (π.χ. με Taxol) ανταποκρίνονται σ' αυτήν, ενώ οι ανεπιθύμητες ενέργειες της εκδηλώνονται στο 100% των ασθενών και με το αντίστοιχο υψηλό οικονομικό κόστος. Με τις συμβασικές ανατομικές απεικονιστικές τεχνικές, πρέπει να παρέλθει ικανό χρονικό διάστημα για να διαπιστωθεί η αποτελεσματικότητα μιας αγωγής με το ανατομικό κριτήριο της συρρίκνωσης του όγκου. Αντίθετα, σε μια επιτυχή αγωγή, η αποπτωτική διαδικασία αρχίζει ταχύτατα (εντός 2 ωρών!) και συνεπώς η αποτελεσματι-

κότητα της αγωγής μπορεί πλέον να διαπιστωθεί πολύ νωρίς και να τροποποιηθεί ανάλογα.

Συμπερασματικά, ο γιατρός, σήμερα, για πρώτη φορά διαθέτει μια ελάχιστα παρεμβατική μέθοδο, όχι μόνο διάγνωσης αλλά και αξιολόγησης των θεραπευτικών παρεμβάσεων του σε διάφορα νοσήματα με μεγάλη επιπτώση, νοσηρότητα και θνητότητα. Με τη μέθοδο αυτή είναι ακόμα δυνατή η εξατομίκευση των χορηγουμένων δόσεων στους ασθενείς, μια και η ανταπόκρισή τους μπορεί να διαπιστωθεί ταχύτατα. Αυτό θα έχει σημαντική επίπτωση τόσο στην αποτελεσματικότητα των θεραπευτικών παρεμβάσεων, όσο και στην εξοικονόμηση πόρων.<sup>31-33</sup>

## ABSTRACT

### **$^{99m}$ Tc-HYNIC-rh-annexin V. The imaging of apoptotic death**

A. ZANGLIS, E. HOUSSIANAKOU

Laboratory of Nuclear Medicine, "Evangelismos" General Hospital, Athens, Greece

Archives of Hellenic Medicine 2000, 17(4):371-376

In multicellular organisms cell homeostasis is maintained by a balance between cell proliferation and cell death. Physiologic cell death occurs primarily through an evolutionarily conserved form of cell suicide named apoptosis. The decision of a cell to undergo apoptosis is influenced by a wide variety of regulatory stimuli, with the central role being reserved for the mitochondria. The externalization of phosphatidylserine which occurs early in the apoptotic process can be used as a target for the detection of cells committed to die via an apoptotic death. Annexin V, a putative human protein, binds strongly to the externalized phosphatidylserine. The HYNIC derivative of annexin V, labeled with  $^{99m}$ Tc, is the basis of a radiopharmaceutical

(Apomate®) which is capable of *in vivo* imaging of various pathogenetic processes characterized by increased induction of apoptotic death. A range of disease processes including cancer, autoimmune disease, transplant rejection, viral disease and neurodegenerative disorders can now be imaged for apoptosis and their treatment response amenable to an early assessment can be accordingly adjusted or modified, with a view to a better patient outcome.

**Key words:** Apoptosis, HYNIC-annexin, Phosphatidylserine

## Βιβλιογραφία

1. KERR JFR. Shrinkage necrosis: A distinct mode of cell death. *J Pathol* 1971, 105:13–20
2. WYLIE AH. Glucocorticoid-induced thymocyte apoptosis is associated with endogenous endonuclease activation. *Nature* 1980, 284:555–556
3. STELLER H. Mechanisms and genes of cellular suicide. *Science* 1995, 267:1445–1449
4. SARASTE M, PUKKI K. Morphologic and biochemical hallmarks of apoptosis. *Cardiovasc Res* 2000, 45:528–537
5. EVAN G, LITTLEWOOD T. A matter of life and cell death. *Science* 1998, 281:1317–1322
6. ASKHENAZI A, DIXIT VM. Death receptors: Signaling and modulation. *Science* 1998, 281:1305–1308
7. NAGATA S, GOLSTEIN P. The Fas death factor. *Science* 1995, 267: 1449–1456
8. GREEN DR, REED JC. Mitochondria and apoptosis. *Science* 1998, 281:1309–1312
9. BRENNER C, KROEMER G. Mitochondria—the death signal integrator. *Science* 2000, 289:1150–1151
10. THORNBERRY NA, LAZEBNIK Y. Caspases: Enemies within. *Science* 1998, 281:1312–1316
11. ADAMS JM, CORY S. The Bcl-2 protein-family: Arbiters of cell survival. *Science* 1998, 281:1322–1326
12. SCHENDEL CM, XIE Z, MONTAL MO, MATSUYAMA S, MONTAL M, REED JC. Channel formation by antiapoptotic protein Bcl-2. *Proc Natl Acad Sci USA* 1997, 94:5113–5118
13. SAVILL J. Phagocytic docking without shocking. *Nature* 1998, 392:442–443
14. ZWAAL RFA, SCROIT AJ. Pathophysiologic implications of membrane phospholipid asymmetry in blood cells. *Blood* 1997, 89: 1121–1132
15. VAN HEERDE WL, DEGROOT PG, REUTELINGSPERGER CPM. The complexity of the phospholipid binding protein annexin V. *Thromb Hemost* 1995, 92:3113–3121
16. KOOPMAN G, REUTELINGSPERGER CPM, KUIJTEN GAM, KEEHNEN RMJ, PALS ST, NAN OERS MHJ. Annexin V for flow cytometric detection of phosphatidylserine expression on B cells undergoing apoptosis. *Blood* 1994, 84:1415–1420
17. VAN HEERDE WL, ROBERT-OFFERMANN S, DUMONT E, HOFSTRA L, DOEVENDANS PA, SMITS JFM ET AL. Markers of apoptosis in cardiovascular tissues: focus on annexin V. *Cardiovasc Res* 2000, 45:549–559
18. BLANKENBERG FG, KATSIKIS PD, TAIT JF, DAVIS RE, NAUMOVSKI L, OHTSUKI K ET AL. *In vivo* detection and imaging of phosphatidylserine expression during programmed cell death. *Proc Natl Acad Sci USA* 1998, 95:6349–6354
19. BLANKENBERG FG, KATSIKIS PD, TAIT JF, DAVIS RE, NAUMOVSKI L, OHTSUKI K ET AL. Imaging of apoptosis (programmed cell death) with <sup>99m</sup>Tc-Annexin V. *J Nucl Med* 1999, 40:184–191
20. STRATTON JR, DEWURST TA, KASINA S, RENO JM, CERQUEIRA MD, BASKIN DG ET AL. Selective uptake of radiolabeled annexin V on acute porcine left atrial thrombi. *Circulation* 1995, 92:3113–3121
21. TAIT JF, CERQUEIRA MD, DEWURST TA. Evaluation of annexin V as a platelet thrombus-targeting agent. *Thromb Res* 1994, 75:491–501
22. VRIENS PW, BLANKENBERG FG, STOOT JH, OHTSUKI K, BERRY CJ, TAIT JF ET AL. The use of Tc-99m-annexin V for the *in vivo* imaging of apoptosis during cardiac allograft rejection. *J Thorac Cardiovasc Surg* 1998, 116:844–853
23. BLANKENBERG FG, ROBBINS RC, STOOT JH, VRIENS PW, BERRY CJ, TAIT JF ET AL. Radionuclide imaging of acute lung transplant rejection with annexin V. *Chest* 2000, 117:834–840
24. OGURA Y, KRAMS SM, MARTINEZ OM, KOPIWODA S, HIGGINS JP, ESQUIVEL CO ET AL. Radiolabeled annexin V imaging: diagnosis of allograft rejection in an experimental rodent model of liver transplantation. *Radiology* 2000, 214:795–800
25. THOMPSON CB. Apoptosis in the pathogenesis and treatment of disease. *Science* 1995, 267:1456–1462
26. VOSS M, COTTON MF. Mechanisms and clinical implications of apoptosis. *Hosp Med* 1998, 59:924–930
27. RUDIN CM, RHOMPSON CB. Apoptosis and disease: Regulation and clinical relevance of programmed cell death. *Annu Rev Med* 1997, 48:267–281
28. OHTSUKI K, AKASHI K, AOKA Y, BLANKENBERG FG, KOPIWODA S, TAIT JF ET AL. Technetium-99m HYNIC-annexin V: a potential radiopharmaceutical for the *in vivo* detection of apoptosis. *Eur J Nucl Med* 1999, 26:1251–1258
29. ABRAMS MJ, JUWEID M, TENKATE JF. Technetium-99m-human polyclonal IgG radiolabeled via the hydrazinonicotinamide derivative for imaging focal sites of infection in rats. *J Nucl Med* 1990, 31:2022–2028
30. LIU S, EDWARDS DS. 99m-Tc-labeled small peptides as diagnostic radiopharmaceuticals. *Chem Rev* 1999, 99:2235–2268
31. BLANKENBERG FG, TAIT JF, STRAUSS HW. Apoptotic cell death: its implications for imaging in the next millennium. *Eur J Nucl Med* 2000, 27:359–367
32. BLANKENBERG FG, TAIT JF, OHTSUKI K, STRAUSS HW. Apoptosis: the importance of nuclear medicine. *Nucl Med Commun* 2000, 21: 241–250
33. BLANKENBERG FG, OHTSUKI K, STRAUSS HW. Dying a thousand deaths. Radionuclide imaging of apoptosis. *Q J Nucl Med* 1999, 43:170–176

*Corresponding author:*

A. Zanglis, 9 Mavrocordatou street, GR-124 61 Haidari, Greece